

УДК 537.521

## РАВНОВЕСНАЯ СКОРОСТЬ ПОЛЯРОНА БОЛЬШОГО РАДИУСА В ЭЛЕКТРИЧЕСКОМ ПОЛЕ

В. В. Брыксин, В. В. Онучин, А. В. Проказников, Г. Ю. Яшин

Для полярона большого радиуса при сильной связи с бездисперсионными оптическими фононами найдена зависимость равновесной скорости от приложенного электрического поля. Эта зависимость оказывается существенно неомической и обусловлена необычным, существующим лишь для автолокализованных состояний, механизмом передачи энергии в решетку.

1. Концепция о существовании полярона большого радиуса (ПБР) в виде автолокализованного состояния (АС) впервые была выдвинута Пекаром и Ландау [1] и приведенные там ссылки). Почти сразу же после своего появления она подверглась критике: в работе [2] авторы настаивали на том, что по крайней мере при малых константах электрон-фононной связи  $\alpha$  энергия делокализованного состояния (ДС) лежит ниже вычисленной Пекаром для АС. Дискуссия о том, какое же состояние — АС или ДС — является основным в задаче о ПБР, возобновлялась в литературе по мере совершенствования методов рассмотрения проблемы. На настоящий момент имеются, как представляется авторам, две точки зрения. Первая состоит в том, что основное состояние ПБР при любых  $\alpha$  делокализовано (см. отчетливое высказывание по этому поводу в [3]). Представители второй точки зрения [4] считают, что при увеличении  $\alpha$  происходит переход от ДС к АС. Так как точно решаемых моделей ПБР нет, аргументы обеих сторон базируются в основном на приближенных рассмотрениях. Единственным строгим аргументом сторонников ДС является следующий: в силу трансляционной инвариантности гамильтониана Фрелиха

$$H = \frac{p^2}{2m} + \sum_{\mathbf{k}} (V_{\mathbf{k}} e^{i\mathbf{k}\mathbf{r}} a_{\mathbf{k}} + h. c.) + \sum_{\mathbf{k}} \hbar \Omega_{\mathbf{k}} a_{\mathbf{k}}^{\dagger} a_{\mathbf{k}},$$

$$V_{\mathbf{k}} = i\hbar\omega_0 \left( \frac{\hbar}{2m\omega_0} \right)^{1/2} \left( \frac{4\pi\alpha}{V} \right)^{1/2} \gamma_{\mathbf{k}}/\hbar; \quad \gamma_{\mathbf{k}} = (\omega_0/\Omega_{\mathbf{k}})^{1/2}; \quad \mathbf{p} = -i\hbar\nabla,$$

его собственные функции могут быть выбраны как собственные функции оператора полного импульса

$$\mathbf{P} = \mathbf{p} + \sum_{\mathbf{k}} \hbar \mathbf{k} a_{\mathbf{k}}^{\dagger} a_{\mathbf{k}}. \quad (1)$$

В силу очевидных свойств собственных функций  $\mathbf{P}$  АС ими быть не могут. Ли, Лоу и Пайнс [5] впервые заметили, что преобразование  $S^{-1}HS$  при

$$S = \exp \left\{ i \left( \mathbf{P} - \sum_{\mathbf{k}} \hbar \mathbf{k} a_{\mathbf{k}}^{\dagger} a_{\mathbf{k}} \right) (\mathbf{r} - \mathbf{r}_0) \right\} \quad (2)$$

исключает из гамильтониана электронные координаты (в (2)  $\mathbf{P}$  есть число). Этим строго доказывается существование собственных функций  $H$  (и одновременно  $\mathbf{P}$ ) вида

$$\exp \left\{ i \left( P - \sum_{\mathbf{k}} \mathbf{k} a_{\mathbf{k}}^{\dagger} a_{\mathbf{k}} \right) (\mathbf{r} - \mathbf{r}_0) \right\} \Phi_{\mathbf{P}, \mathbf{r}_0}, \quad (3)$$

где  $\Phi_{\mathbf{P}, \mathbf{r}_0}$  зависит лишь от фононных переменных.

До сих пор, насколько нам известно, никто не обращал внимания на вырождение состояния (3). Возможность произвольного выбора  $\mathbf{r}_0$  в (2), (3) указывает на то, что это вырождение бесконечно кратно. Это означает, что в рамках приближения слабой и промежуточной силы связи, развитого в [5], можно построить бесконечное множество функций с одной и той же энергией. Аналогичное вырождение обнаруживается и в адиабатической теории Боголюбова и Тябликова [6, 7] уже в нулевом ее приближении: если  $\psi(\mathbf{r})$  есть решение нулевого приближения, то  $\psi(\mathbf{r} + \mathbf{r}_0)$  также есть решение с той же энергией при любом  $\mathbf{r}_0$ . Существование вырождения позволяет утверждать, что имеется множество базисов собственных функций  $H$ , среди которых могут быть и локализованные. Здесь уместно указать на аналогию с двумерной задачей об электроны в магнитном поле, где наличие бесконечнократного вырождения позволяет выбрать для работы либо базис ДС Ландау, либо иной, к примеру базис локализованных собственных функций оператора момента [8].

Приведенные замечания позволяют по-новому взглянуть на постановку вопроса о локализации или делокализации электрона при взаимодействии с решеткой: видимо, как АС, так и ДС могут быть собственными, с одной и той же энергией. Далее мы продемонстрируем этот факт по крайней мере для функций основного состояния при больших константах связи  $\alpha$ . Мы покажем также, что при не слишком сильных электрических полях  $E$  эти состояния начинают двигаться, приобретая конечную скорость  $v$ . На начальных участках вольт-амперной характеристики (ВАХ), обусловленной движением АС,

$$v/v_0 \approx [\ln(E_0/E)]^{-1/2},$$

где  $v_0 \sim \omega_0 l / \alpha$ ,  $E_0 \sim \alpha^2 \hbar \omega_0 / e l$ ,  $l$  есть оптическая длина,  $l = (\hbar / 2m\omega_0)^{1/2}$ . Установление равновесной скорости происходит вследствие того, что энергия, получаемая АС в единицу времени от поля  $E$ , передается в решетку. Запасенная в ней энергия растет линейно со временем — АС движется, рождая за собой «шлейф» решеточных колебаний.

2. Движущееся в поле АС будем искать как решение уравнения

$$i \hbar \frac{\partial \psi}{\partial t} = \mathcal{H} \psi \quad (4)$$

с гамильтонианом

$$\mathcal{H} = H - e E \mathbf{r}.$$

Рассчитывая произвести разложение по степеням  $\alpha^{-1}$ , обезразмерим длину в единицах  $l/\alpha$ , а время — в единицах  $\omega_0^{-1}$  ( $\omega_0$  — предельная частота оптической фононной моды); при этом (4) принимает вид

$$\frac{i}{\alpha^2} \frac{\partial \psi}{\partial t} = \left\{ -\nabla^2 + \frac{1}{\alpha} \sum_{\mathbf{k}} (v_{\mathbf{k}} a_{\mathbf{k}} e^{i \mathbf{k} \mathbf{r}} + h. c.) + \frac{1}{\alpha^2} \sum_{\mathbf{k}} \omega_{\mathbf{k}} a_{\mathbf{k}}^{\dagger} a_{\mathbf{k}} - \varepsilon \mathbf{r} \right\} \psi, \quad (5)$$

$$\varepsilon = E l e / \alpha^3 \hbar \omega_0, \quad \omega_{\mathbf{k}} = \Omega_{\mathbf{k}} / \omega_0, \quad v_{\mathbf{k}} = i \gamma_{\mathbf{k}} \left( \frac{4 \pi l}{\alpha^3 V} \right)^{1/2} / k. \quad (6)$$

Множитель  $(l/\alpha)^{3/2}$  в  $v_{\mathbf{k}}$  в (5), (6) в дальнейшем выпадает при произведении суммирования по  $\mathbf{k}$ ; он введен для компенсации изменения фазового объема при обезразмеривании  $\mathbf{k}$  в единицах  $\alpha/l$ , и реальная малость членов гамильтониана по  $\alpha$  выделена в (5) в явном виде. Над волновой функцией  $\Psi$  удобно произвести ряд преобразований. Во-первых, введем

$$\bar{\Psi} = e^{-S} \psi, \quad S = \alpha \sum_{\mathbf{k}} [\beta_{\mathbf{k}}(t) a_{\mathbf{k}}^{\dagger} - \beta_{\mathbf{k}}^*(t) a_{\mathbf{k}}] - i \alpha^3 \int^t \Phi(t') dt'.$$

Здесь  $\beta_{\mathbf{k}}(t)$ ,  $\beta_{\mathbf{k}}^*(t)$  и  $\Phi(t)$  есть с-числовые функции, которые будут определены позже;  $\beta$  и  $\beta^*$  имеют смысл классических смещений, т. е. «полярированного облака» АС. Легко убедиться в том, что [9]

$$e^{-S} a_{\mathbf{k}}^{\dagger} e^S = a_{\mathbf{k}}^{\dagger} + \alpha \beta_{\mathbf{k}}^*(t), \quad e^{-S} a_{\mathbf{k}} e^S = a_{\mathbf{k}} + \alpha \beta_{\mathbf{k}}(t),$$

$$e^{-S} \frac{d}{dt} e^S = a^2 \frac{1}{2} \sum_{\mathbf{k}} [\dot{\beta}_{\mathbf{k}} \beta_{\mathbf{k}}^* - \beta_{\mathbf{k}} \dot{\beta}_{\mathbf{k}}^*] + \alpha \sum_{\mathbf{k}} [\dot{\beta}_{\mathbf{k}} a_{\mathbf{k}}^{\dagger} - \dot{\beta}_{\mathbf{k}}^* a_{\mathbf{k}}] - i \alpha^2 \Phi(t) + \frac{d}{dt},$$

и таким образом для  $\bar{\psi}$  уравнение (5) преобразуется к виду

$$\frac{i}{a^2} \frac{\partial \bar{\psi}}{\partial t} = \left\{ \left[ -\nabla^2 + \sum_{\mathbf{k}} (v_{\mathbf{k}} \beta_{\mathbf{k}} e^{i\mathbf{k}\mathbf{r}} + h. c.) - \epsilon_{\mathbf{r}} \right] + \frac{1}{\alpha} \sum_{\mathbf{k}} [a_{\mathbf{k}}^{\dagger} (v_{\mathbf{k}}^* e^{-i\mathbf{k}\mathbf{r}} + \omega_{\mathbf{k}} \beta_{\mathbf{k}} - i \dot{\beta}_{\mathbf{k}}) + h. c.] + \frac{1}{a^2} \sum_{\mathbf{k}} \omega_{\mathbf{k}} a_{\mathbf{k}}^{\dagger} a_{\mathbf{k}} \right\} \bar{\psi} +$$

$$+ \left\{ -\frac{i}{2} \sum_{\mathbf{k}} (\dot{\beta}_{\mathbf{k}} \beta_{\mathbf{k}}^* - \beta_{\mathbf{k}} \dot{\beta}_{\mathbf{k}}^*) + \sum_{\mathbf{k}} \omega_{\mathbf{k}} \beta_{\mathbf{k}} \beta_{\mathbf{k}}^* - \Phi(t) \right\} \bar{\psi}.$$

Во-вторых, переведем все фоновые операторы в движущуюся со скоростью  $\mathbf{v}$  систему отсчета, представив  $\bar{\psi}$  в виде

$$\bar{\psi} = e^{S_1} \bar{\psi}, \quad S_1 = -i \mathbf{v} t \sum_{\mathbf{k}} \mathbf{k} a_{\mathbf{k}}^{\dagger} a_{\mathbf{k}}.$$

Наконец, перейдем в движущуюся систему отсчета и для электронной переменной еще раз введем новое обозначение  $\mathbf{z} \mathbf{r} - \mathbf{v} t$  и функцию

$$\bar{\psi}(\mathbf{z}, t) = e^{-i \mathbf{v} \mathbf{z} t / 2} \psi(\mathbf{r}, t).$$

Уравнение для  $\bar{\psi}$  выглядит так

$$\frac{i}{a^2} \frac{\partial \bar{\psi}}{\partial t} = \left\{ \left[ -\nabla_{\mathbf{z}}^2 + \sum_{\mathbf{k}} (v_{\mathbf{k}} \beta_{\mathbf{k}} e^{i\mathbf{k}(\mathbf{z} + \mathbf{v} t)} + h. c.) - \epsilon_{\mathbf{z}} \right] + \frac{1}{\alpha} \sum_{\mathbf{k}} [a_{\mathbf{k}}^{\dagger} e^{i\mathbf{k} \mathbf{v} t} (v_{\mathbf{k}}^* e^{-i\mathbf{k}(\mathbf{z} + \mathbf{v} t)} + \omega_{\mathbf{k}} \beta_{\mathbf{k}} - i \dot{\beta}_{\mathbf{k}}) + h. c.] + \frac{1}{a^2} \sum_{\mathbf{k}} (\omega_{\mathbf{k}} + \mathbf{k} \mathbf{v}) a_{\mathbf{k}}^{\dagger} a_{\mathbf{k}} \right\} \bar{\psi} +$$

$$+ \left\{ -\frac{i}{2} \sum_{\mathbf{k}} (\dot{\beta}_{\mathbf{k}} \beta_{\mathbf{k}}^* - \beta_{\mathbf{k}} \dot{\beta}_{\mathbf{k}}^*) + \sum_{\mathbf{k}} \omega_{\mathbf{k}} \beta_{\mathbf{k}} \beta_{\mathbf{k}}^* - \epsilon \mathbf{v} t - \frac{\mathbf{v}^2}{4a^2} - \Phi(t) \right\} \bar{\psi}. \quad (7)$$

Наконец, произведем выбор  $\Phi(t)$  таким образом, чтобы обратить в нуль последний член в (7), и будем искать  $\bar{\psi}$  как собственную функцию в движущейся системе отсчета

$$\bar{\psi}(\mathbf{z}, t, \{a_{\mathbf{k}}^{\dagger}; a_{\mathbf{k}}\}) = e^{-i \alpha^2 E t} Q(\mathbf{z}, \{a_{\mathbf{k}}^{\dagger}; a_{\mathbf{k}}\}).$$

Функция  $Q$  удовлетворяет уравнению

$$EQ = \left[ H_0 + \frac{1}{\alpha} H_1 + \frac{1}{\alpha^2} H_2 \right]. \quad (8)$$

Вид  $H_i$  очевиден из (7).

3. Уравнение (8) будем решать по теории возмущений, разлагая  $E$  и  $Q$  в ряды по  $\alpha^{-1}$ ; эта процедура полностью повторяет метод Боголюбова-Тябликова [6, 7]. Выпишем уравнения теории возмущений

$$(H_0 - E_0) Q_0 = 0, \quad (9a)$$

$$(H_0 - E_0) Q_1 = (E_1 - H_1) Q_0, \quad (9b)$$

$$(H_0 - E_0) Q_2 = (E_1 - H_1) Q_1 + (E_2 - H_2) Q_0, \quad (9b)$$

$$(H_0 - E_0) Q_3 = (E_1 - H_1) Q_2 + (E_2 - H_2) Q_1 + E_3 Q_0 \quad (9b)$$

и т. д. Как и в [6, 7], уравнение нулевого приближения не определено, так как  $\beta_{\mathbf{k}}$  и  $\beta_{\mathbf{k}}^*$  пока неизвестны. Так как в  $H_0$  нет фононных операторов, решения (9а) имеют вид

$$Q_0^* = \varphi_{\nu}(z) \Phi_0,$$

где  $\Phi_0$  — пока произвольная функция решеточных переменных. Сделаем допущение (оправдывающееся последующим расчетом) о том, что  $\varphi_0(z)$  представляет собой локализованную функцию типа связанного состояния; поправки будем искать к основному состоянию  $Q_0^0$ .

Условие разрешимости первого приближения получим, умножив (9б) слева на  $\varphi_0(z)$  и проинтегрировав по  $z$

$$\left\{ E_1 - \sum_{\mathbf{k}} a_{\mathbf{k}}^* e^{i\mathbf{k}\nu t} (v_{\mathbf{k}}^* \chi_{00}(-\mathbf{k}) e^{-i\mathbf{k}\nu t} + \omega_{\mathbf{k}} \beta_{\mathbf{k}} - i\dot{\beta}_{\mathbf{k}}) + \text{h. c.} \right\} \Phi_0 = 0. \quad (10)$$

Здесь введено обозначение

$$\chi_{\mu\nu}(\mathbf{k}) = \int d^3z \varphi_{\mu}^*(z) e^{i\mathbf{k}z} \varphi_{\nu}(z).$$

Следуя известным аргументам [6, 7], из (10) имеем  $E_1 = 0$  и уравнения для  $\beta_{\mathbf{k}}$ ,  $\beta_{\mathbf{k}}^*$

$$\left. \begin{aligned} \dot{\beta}_{\mathbf{k}} &= -i\omega_{\mathbf{k}} \beta_{\mathbf{k}} - i v_{\mathbf{k}}^* e^{-i\mathbf{k}\nu t} \chi_{00}(-\mathbf{k}), \\ \dot{\beta}_{\mathbf{k}}^* &= i\omega_{\mathbf{k}} \beta_{\mathbf{k}}^* + i v_{\mathbf{k}} e^{i\mathbf{k}\nu t} \chi_{00}^*(-\mathbf{k}). \end{aligned} \right\}$$

Эти уравнения легко решаются; результат решения имеет вид

$$\left. \begin{aligned} \beta_{\mathbf{k}} &= \beta_{\mathbf{k}}^0 e^{-i\omega_{\mathbf{k}} t} - i v_{\mathbf{k}}^* \chi_{00}(-\mathbf{k}) \int_{-\infty}^t e^{-i\omega_{\mathbf{k}}(t-\tau) - i\mathbf{k}\nu\tau} d\tau, \\ \beta_{\mathbf{k}}^* &= \beta_{\mathbf{k}}^{0*} e^{i\omega_{\mathbf{k}} t} + i v_{\mathbf{k}} \chi_{00}^*(-\mathbf{k}) \int_{-\infty}^t e^{i\omega_{\mathbf{k}}(t-\tau) + i\mathbf{k}\nu\tau} d\tau. \end{aligned} \right\} \quad (11)$$

Следует отметить, что ход последующего рассмотрения и его результаты существенно зависят от выбора решений однородной системы, т. е. величин  $\beta_{\mathbf{k}}^0$  и  $\beta_{\mathbf{k}}^{0*}$  в (11). Мы выберем их равными нулю, что соответствует невозмущенной при  $t \rightarrow -\infty$  решетке. В принципе возможен и иной выбор; можно подобрать  $\beta_{\mathbf{k}}^0$ ,  $\beta_{\mathbf{k}}^{0*}$  таким образом, чтобы полярон имел конечную скорость  $v$  при  $\varepsilon = 0$  — этот выбор позволил бы найти решения, исследованные в [10].

Определив  $\beta_{\mathbf{k}}$ ,  $\beta_{\mathbf{k}}^*$ , мы тем самым определили также уравнение нулевого приближения (9а)

$$\{-\nabla_z^2 - U(z, t) - \varepsilon z\} \varphi_{\nu}(z) = E_0^* \varphi_{\nu}(z), \quad (12)$$

$$U(z, t) = \sum_{\mathbf{k}} \left[ -i v_{\mathbf{k}} v_{\mathbf{k}}^* \chi_{00}(-\mathbf{k}) \int_{-\infty}^t e^{-i\omega_{\mathbf{k}}(t-\tau) - i\mathbf{k}\nu\tau + i\mathbf{k}(z+\nu t)} d\tau + \text{h. c.} \right]. \quad (13)$$

На этом этапе вычислений убеждаемся в том, что время полностью выпадает из системы уравнений (9). Для этого преобразуем (13) следующим образом

$$\begin{aligned} U(z, t) &= -i \sum_{\mathbf{k}} \gamma_{\mathbf{k}} \gamma_{\mathbf{k}}^* \frac{4\pi}{k^2} \frac{l^3}{a^3 V} \int d^3z_1 \varphi_0^*(z_1) \varphi_0(z_1) \times \\ &\times \int_{-\infty}^t d\tau [e^{-i\mathbf{k}(z-z_1) - i(\tau-t)(\mathbf{k}\nu - \omega_{\mathbf{k}})} - \text{c. c.}] \rightarrow -it \int_{-\infty}^0 d\tau \int d^3z_1 \int d^3z_2 \int \frac{d^3\mathbf{k}}{(2\pi)^3} \times \\ &\times (e^{-i\mathbf{k}z_2 + i\omega_{\mathbf{k}}\tau} - \text{c. c.}) \frac{\varphi_0^*(z_1) \varphi_0(z_1)}{|z_1 - z_2 + \nu\tau - z|} = \int d^3z_1 \varphi_0^*(z_1) \varphi_0(z_1) V_{\nu}(z_1 - z). \end{aligned} \quad (14)$$

Здесь

$$V_v(r) = \int d^3r_1 \int_{-\infty}^0 d\tau \frac{\theta(r_1, \tau)}{|r - r_1 + v\tau|},$$

$$\theta(r, \tau) = \frac{2}{(2\pi)^3} \int d^3k \sin(\omega_k \tau - kr).$$

Из (14) следует, что временная переменная не входит в (12), так как  $U(z, t) \equiv U(z)$ . Далее запишем  $H_1$  в базисе функций  $\varphi_\nu$ ,

$$H_1 = \sum_{\mathbf{k}} a_{\mathbf{k}}^{\dagger} e^{i\mathbf{k}v t} |\mu\rangle \{ \delta_{\mu\nu} (-i\dot{\beta}_{\mathbf{k}} + \omega_{\mathbf{k}}\beta_{\mathbf{k}}) + v_{\mathbf{k}}^* e^{-i\mathbf{k}v t} x_{\mu\nu}(-\mathbf{k}) \} \langle \nu | + h. c$$

или, используя уравнения для  $\beta_{\mathbf{k}}, \beta_{\mathbf{k}}^*$ ,

$$H_1 = \sum_{\mathbf{k}} a_{\mathbf{k}}^{\dagger} v_{\mathbf{k}}^* |\mu\rangle \{ x_{\mu\nu}(-\mathbf{k}) - \delta_{\mu\nu} x_{\nu 0}(-\mathbf{k}) \} \langle \nu | + h. c$$

Наконец, так как

$$H_2 = |\mu\rangle \langle \nu | \delta_{\mu\nu} \sum_{\mathbf{k}} (\omega_{\mathbf{k}} + \mathbf{k}v) a_{\mathbf{k}}^{\dagger} a_{\mathbf{k}},$$

убеждаемся в том, что  $t$  выпало из всех  $H_i$ .

Схема работы с системой уравнений (9) после решения уравнения нулевого приближения (12) полностью повторяет изложенную в [6, 7].

4. При  $\epsilon, v=0$  система (9) полностью совпадает с полученной в [6, 7] при отыскании волновых функций с нулевым импульсом. Это означает, что ряды теории возмущений для соответствующих функций совпадают, и лишь их аргументы имеют разный смысл. Таким образом, ряды для  $AC$  и  $DC$  в технике Боголюбова сходятся или расходятся одновременно. Как мы указывали выше, одновременное существование локализованных и распространённых функций основного состояния является следствием бесконечнократного вырождения. Отметим, что впервые этот факт в неявной форме был использован в [11] при анализе зависимости от  $\alpha$  энергии основного состояния; расчеты, проведенные в [10], также предполагают наличие локализованных решений при  $\epsilon=0$ .

Решения уравнения (12) при  $\epsilon, v=0$  не раз исследовались вариационными методами и могут считаться известными. При  $\epsilon, v \neq 0$  можно развить итерационную процедуру решения уравнения (12), разлагая его решения в ряд по  $\epsilon$  и  $\delta U$ , где

$$\delta U = U(v, z) - U(0, z).$$

Прежде чем делать это, остановимся на общих свойствах решений (12). При построении схемы теории возмущений по  $\alpha^{-1}$  мы предположили, что (12) имеет дискретный уровень. Как известно, волновую функцию дискретного уровня можно выбрать вещественной. При этом с необходимостью выполняется равенство

$$\int d^3r [\varphi_0(r) \nabla \varphi_0^*(r) - \varphi_0^*(r) \nabla \varphi_0(r)] = 0$$

или, используя (12),

$$\int d^3r \varphi_0^*(r) \varphi_0(r) \nabla U(r) = \epsilon. \quad (15)$$

При разложении  $\varphi_0$  в ряд по  $\epsilon$ ,  $\delta U$  равенство (15) будет накладывать связь между  $v$  и  $\epsilon$ , при которой (12) имеет решением автолокализованную волновую функцию. При учете связи (15) в ряду теории возмущений по  $\epsilon$  и  $\delta U$  для  $\varphi_0$  исчезают расходимости. Покажем это для членов первого порядка малости. Представим  $\varphi_0$  в виде суммы  $f_0 + \Delta$ , где  $f_0$  есть решение (12)

при  $\varepsilon, \nu = 0$ , а  $\Delta$  — малая добавка. Тогда, отбрасывая в (12) члены первого порядка малости, имеем для  $\Delta$  уравнение

$$L\Delta = \varepsilon z f_0 - \delta U f_0, \quad (16)$$

$$L\Delta \equiv [-\nabla^2 + U - \delta U] \Delta + 2f_0 \int d^3 r f_0(\mathbf{r}) V_0(\mathbf{r} - \mathbf{z}) \Delta(\mathbf{r}) - E_0 \Delta. \quad (16a)$$

Для отыскания  $\Delta$  из (16) следует разложить правую часть по собственным функциям  $\chi_n$  линейного оператора  $L$  (16a)

$$\varepsilon z f_0 - \delta U f_0 = \sum_n I_n \chi_n(z),$$

$$I_n \equiv \int d^3 z [\varepsilon z f_0(z) - \delta U(z) f_0(z)]$$

и тогда

$$\Delta = \sum_n C_n \chi_n, \quad C_n = I_n / \lambda_n,$$

где  $\lambda_n$  — собственные значения, соответствующие  $\chi_n$ . Однако легко показать, что функции вида

$$\frac{\partial f_0}{\partial z_i}, \quad i = 1, 2, 3$$

являются собственными функциями оператора  $L$  с  $\lambda = 0$ . Существование таких функций (так называемых «нулевых трансляционных мод»), как это хорошо известно, связано с трансляционной инвариантностью уравнений нулевого приближения. Так как  $I_0$ , вообще говоря, отлично от нуля, то прямая итерация уравнения (12) по степеням  $\varepsilon, \delta U$  невозможна. Методы построения теории возмущений в такой ситуации, однако, хорошо известны [12]. Смысл их заключается в том, что следует переопределить решение нулевого приближения, выбрав его параметры (в данном случае скорость  $\nu$ ) таким образом, чтобы ряд теории возмущений не содержал бесконечностей. В нашем случае это означает, что на  $f_0$  должно быть наложено требование

$$I_0(\varepsilon, \nu) = 0,$$

которое определяет связь между  $\nu$  и  $\varepsilon$ . Рассмотрим эту связь более подробно, выписав ее в полном виде

$$\int d^3 r f_0(\mathbf{r}) [\varepsilon \mathbf{r} - \delta U(\mathbf{r})] \frac{\partial f_0}{\partial r_i} = 0.$$

Проинтегрировав по частям, имеем

$$\int d^3 r f_0^2(\mathbf{r}) \nabla \delta U(\mathbf{r}) = \varepsilon. \quad (17)$$

Так как

$$\int d^3 r f_0^2(\mathbf{r}) \nabla U(\mathbf{r}) |_{\nu=0} = 0,$$

то условие (17) совпадает с условием (15), записанным для функций нулевого приближения. Дальнейшие шаги теории возмущений могут быть проделаны в соответствии со стандартными рецептами, изложенными, например, в [12], и устранение расходимостей в более высоких порядках теории возмущений приведет к уточнению связи между  $\varepsilon$  и  $\nu$ , но мы не будем этого делать, ограничившись нулевым приближением (17).

5. Выпишем связь между  $\nu$  и  $\varepsilon$  для гауссовской модели полярона, когда

$$f_0^2(\mathbf{r}) = \frac{1}{\pi^{3/2} R_p^3} \exp\{-\mathbf{r}/R_p\}^2. \quad (18)$$

В такой записи величина  $lR_p\sqrt{2}/\alpha$  имеет смысл радиуса полярона; в гауссовской модели  $R_p = 3\sqrt{\pi}/2$ . Фононы будем считать бездисперсионными,  $\omega_k = 1$ . Так как вполне очевидно, что  $\mathbf{v}$  и  $\boldsymbol{\varepsilon}$  параллельны, то для упрощения расчетов умножим (17) на  $\mathbf{v}$  скалярно. Для удобства вычислений преобразуем левую часть (17)

$$\begin{aligned} \mathbf{v} \int d^3r \varphi_0^2(\mathbf{r}) \nabla U(\mathbf{r}) &= \int d^3r \int d^3r_1 \int d^3r_2 \int_{-\infty}^0 d\tau \int \frac{d^3k}{(2\pi)^3} 2f_0^2(\mathbf{r}) f_0^2(\mathbf{r}_1) \times \\ &\times \mathbf{v} \nabla \frac{\sin(\tau - \mathbf{k}\mathbf{r}_2)}{|\mathbf{r}_1 - \mathbf{r} - \mathbf{r}_2 + \mathbf{v}\tau|} = 2 \int d^3r \int d^3r_1 \int_{-\infty}^0 d\tau f_0^2(\mathbf{r}) f_0^2(\mathbf{r}_1) \times \\ &\times \sin \tau \frac{d}{d\tau} \frac{1}{|\mathbf{r}_1 - \mathbf{r} + \mathbf{v}\tau|} = -2 \int_0^{\infty} d\tau \int d^3r_1 \int d^3r_2 \frac{\cos \tau f_0^2(\mathbf{r}_1) f_0^2(\mathbf{r}_2)}{|\mathbf{r}_1 - \mathbf{r}_2 - \mathbf{v}\tau|}. \end{aligned}$$

Таким образом,

$$\boldsymbol{\varepsilon} \mathbf{v} = 2 \int_0^{\infty} d\tau \cos \tau \int d^3r_1 \int d^3r_2 \frac{f_0^2(\mathbf{r}_1) f_0^2(\mathbf{r}_2)}{|\mathbf{r}_1 - \mathbf{r}_2 - \mathbf{v}\tau|}. \quad (19)$$

Хотя связь (19) получена довольно замысловатым образом, смысл ее весьма прост: (19) представляет собой баланс энергии, получаемой движущимся АС в единицу времени от поля (левая часть) и передаваемой в решетку (правая часть). В этом довольно просто убедиться, продифференцировав по времени среднее от  $H_{ph}$  на исследуемых состояниях.

Интегралы в (19) с волновыми функциями (18) берутся точно; вычислив их, получаем связь между  $v$  и  $E$  (в размерных единицах)

$$\frac{E}{E_0} = -\left(\frac{v_0}{v}\right)^2 \text{Ei}\left[-\left(\frac{v_0}{v}\right)^2\right], \quad (20)$$

$$E_0 = \alpha^3 \hbar \omega_0 \sqrt{2}/l\alpha R_p^2,$$

$$v_0 = l\omega_0 R_p/\alpha \sqrt{2}.$$

Связь (20) схематически приведена на рис. 1. При малых  $v/v_0$  имеет место асимптотическое равенство

$$\frac{E}{E_0} \approx \exp\left\{-\left(\frac{v_0}{v}\right)^2\right\}.$$

6. Кривая на рис. 1 отражает ход ВАХ для полярона в случае низких температур. Естественно, мы не можем претендовать на правильность всей зависимости в силу ограничений на параметры, принятых при расчете. Во-первых, мы полностью пренебрегали процессами ионизации полярона в возбужденные состояния, т. е. полагали малым отношение

$$EelR_p/\alpha\Delta E_p,$$

где  $\Delta E_p$  — разность энергий основного и возбужденного состояния полярона. Так как  $\Delta E_p \sim \alpha^3 \hbar \omega_0$ , то это ограничение имеет вид

$$Eel/\alpha^3 \hbar \omega_0 \ll 1.$$

Во-вторых, малость поправок к  $\varphi_0$  по  $\delta U$  приводит к ограничению

$$\exp\{-(v_0/v)^2\} \ll 1.$$

Таким образом, мы можем считать, что нашей теорией правильно описывается начальный участок ВАХ (он ограничен на рисунке пунктиром). Оценки величин для характерных полярных диэлектриков дают  $E_0 \sim \sim 10^6$  В/см и  $v_0 \sim 10^8$  см/с. В зависимости от параметров материала  $v_0$

и  $E_0$  могут отличаться от приведенных величин примерно на порядок в ту или иную сторону.

7. При экспериментальных измерениях подвижности температурно-независимый участок ВАХ, похожий на изображенную на рис. 1 кривую, неоднократно наблюдался для веществ как со слабой, так и с сильной связью. При его интерпретации имелись сложности, связанные с тем, что имеющиеся к настоящему времени расчеты зависимости  $v$  от  $E$  дают скачок при  $T=0$  [13] (рис. 2). Наличие скачка интерпретируется как невозможность испускания фононов при скоростях, меньших пороговой скорости  $v_p$ , такой, что

$$mv_p^2/2 = \hbar\omega_0. \quad (21)$$

Кроме скачка, предсказывается также выход  $v(E)$  на насыщение при сравнительно малых полях. Между тем экспериментально наблюдается отсутствие как скачка, так и (для веществ с сильной связью) насыщения зави-

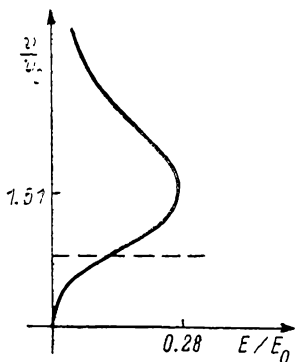


Рис. 1. Связь величин  $v$  и  $E$  (см. (20)).

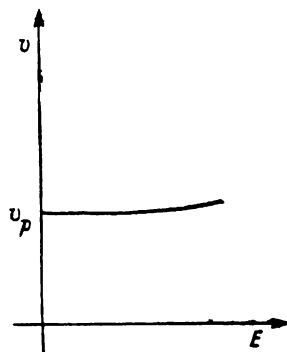


Рис. 2. Расчетная зависимость  $v(E)$  при  $T=0$ .

симости  $v(E)$  [14–18]. Эти особенности переноса для веществ со слабой связью принято объяснять примесным рассеянием и наличием ловушек [18], однако объяснение требует весьма сложной зависимости поведения времени захвата на ловушки не только от электрического поля, но и от установившегося характера движения электронов. Представленная в настоящей работе схема показывает, что существует простой альтернативный способ объяснения ВАХ, наблюдавшейся в эксперименте. Этот способ основан на ином механизме рассеяния, чем стандартно рассматриваемый сброс одного или нескольких фононов. При стандартном рассмотрении предполагается, что имеется некое время взаимодействия, причем как до, так и после взаимодействия система находится в «чистых» квантовых состояниях. При этом естественно требовать закона сохранения в каждом акте рассеяния, что приводит к ограничению (21) и связанному с ним скачку на ВАХ. Однако движущееся  $AC$  не есть собственное состояние гамильтониана; соответственно состояние решетки после прохождения  $AC$  также не является собственным, а есть суперпозиция состояний с разным числом фононов. При таком типе движения не выделяются отдельные акты испускания, и ограничение (21) отпадает. В заключение следует отметить что в ситуации, когда возможны оба типа режимов переноса — описанный нами выше (назовем его адиабатическим) и стримерный, приводящий к ВАХ, изображенной на рис. 2, устойчивым будет (в силу минимума производства энтропии) тот, который при данном  $E$  дает меньшую скорость, — очевидно, в области малых  $E$  это будет адиабатический режим.

Авторы приносят благодарность В. И. Мельникову, Э. И. Рашба и К. Б. Толпыго за полезные обсуждения.



- [1] Пекар С. И. Исследования по электронной теории кристаллов. М.: Гостехиздат, 1951. 256 с.
- [2] Fröhlich H., Pelzer H., Zienau S. *Phil. Mag.*, 1950, vol. 41, N 314, p. 221—242.
- [3] Devreese J. T. In: *Polarons and Excitons in Polar Semiconductors and Ionic Crystals*. Ed. by J. T. Devreese and F. Peeters, NATO ASI Series, Series B: Physics, vol. 108. Plenum Press, N. Y.—London, 1984, p. 165—183.
- [4] Маѝка R. *Phys. St. Sol. (b)*, 1979, vol. 93, p. 53—58.
- [5] Lee T. D., Low F., Pines D. *Phys. Rev.*, 1953, vol. 90, N 2, p. 297—302.
- [6] Боголюбов Н. Н. УМЖ, 1950, т. 2, № 2, с. 3—24.
- [7] Тябликов С. В. ЖЭТФ, 1951, т. 21, № 3, с. 377—388.
- [8] Jonson H. H., Lippman B. A. *Phys. Rev.*, 1949, vol. 76, N 6, p. 828—832.
- [9] Базь А. И., Зельдович Я. Б., Переломов А. М. Рассеяние, реакции и распады в нерелятивистской квантовой механике. М.: Наука, 1971. 544 с.
- [10] Давыдов А. С., Энольский В. Э. ЖЭТФ, 1981, т. 81, № 3 (9), с. 1088—1098.
- [11] Whitefield G., Platzman P. M. *Phys. Rev. B*, 1972, vol. 6, N 10, p. 3987—3992.
- [12] Лонгерен К., Скотт Э. Солитоны в действии. М.: Мир, 1981. 312 с.
- [13] Peeters F., Devreese J. T. In: *Solid State Physics*, 1984, vol. 38, p. 82—135.
- [14] Nakazawa F., Kanzaki H. *J. Phys. Soc. Japan*, 1965, vol. 20, N 3, p. 468—469.
- [15] Bottle S. B., Brown F. C. 3<sup>rd</sup> Int. Conf. Photocond., N. Y.: Pergamon, 1971. 139 p.
- [16] Mikkor H., Brown F. C. *Phys. Rev.*, 1967, vol. 162, N 3, p. 841—847.
- [17] Kawai T., Kobayashi K., Fujita H. *J. Phys. Soc. Japan*, 1966, vol. 21, N 3, p. 453—463.
- [18] Komijama S. In: *Polarons and Excitons in Polar Semiconductors and Ionic Crystals*. Ed. by J. T. Devreese and F. Peeters, NATO ASI Series, Series B: Physics, vol. 108. N. Y.—London: Plenum Press, 1984, p. 41—97.

Физико-технический институт  
им. А. Ф. Иоффе АН СССР  
Ленинград

Поступило в Редакцию  
11 августа 1987 г.